

УДК 535.34 : 539.238

## ПОПЕРЕЧНЫЙ И ПРОДОЛЬНЫЙ ЭФФЕКТ ВЕЙГЕРТА В ТОНКИХ ПЛЕНКАХ Ag—AgHal

Л. А. Агеев и В. К. Милославский

Исследован эффект ВейгERTA (ЭВ) в тонких гранулярных пленках Ag—AgCl, возникающий после облучения линейно поляризованным излучением лазера ( $\lambda = 6328 \text{ \AA}$ ) и проявляющийся в расщеплении резонансной полосы поглощения Ag в AgCl на две компоненты, соответствующие измерениям при  $E \parallel E_0$  и  $E \perp E_0$  ( $E_0$  — вектор поляризации лазерного пучка,  $E$  — измерительного). Положение полос подчиняется неравенству  $\omega_{\parallel} > \omega_{\perp} > \omega_1$  ( $\omega_1$  — положение в необлученном образце); разность частот  $\omega_{\parallel} - \omega_{\perp}$  возрастает с ростом времени облучения и достигает насыщения. С помощью электронной микроскопии установлена связь ЭВ в Ag—AgCl с образованием цепочек из гранул Ag, вытянутых преимущественно поперек  $E_0$ . Сопоставление с ЭВ в пленках Ag—AgJ позволяет разделить ЭВ на поперечный и продольный в соответствии с ориентацией цепочек относительно  $E_0$ . Обсуждается механизм возникновения поперечного и продольного ЭВ. Для объяснения поперечного ЭВ предполагается эмиссия фотоэлектронов из гранул в направлении  $E_0$  и существование большого числа центров захвата фотоэлектронов на границах зерен AgCl.

Несмотря на длительную историю исследования [1] (эффект был обнаружен в 1920 г. [2]), эффект ВейгERTA (ЭВ) до сих пор принадлежит к мало изученным явлениям, наблюдаемым в фоточувствительных объектах. Явление заключается в появлении фотоиндуцированного дихроизма в фотоэмulsionиях или кристаллах AgHal при их облучении линейно поляризованным нефотоактивным (обычно красным) светом. ЭВ наблюдается в объектах, содержащих избыточный металл (серебро) в мелкодисперсном состоянии, и, таким образом, связывается с фотоструктурными превращениями, возникающими при действии света на металлические гранулы и приводящими в итоге к оптической анизотропии образцов. Структурное состояние дихроичных образцов изучалось слабо, в связи с чем неясен механизм фотоструктурных превращений и природа сопровождающих их оптических явлений.

Исследования, проведенные нами [3, 4] на тонкопленочных образцах Ag—AgJ, показали, что тонкие пленки фоточувствительных материалов, содержащих гранулярное серебро, являются очень удобным объектом для исследования ЭВ. С одной стороны, метод приготовления образцов (вакуумное напыление гранулярных пленок Ag, последующее иодирование) обеспечивает небольшой размер гранул на подложке, что в свою очередь определяет хорошее оптическое качество образцов. В тонких пленках отсутствует рассеяние света, полосы поглощения гранулярного серебра достаточно узки, возникающий в результате облучения дихроизм легко наблюдается и измеряется. Во-вторых, в отличие от кристаллов фотоструктурные превращения возникают в практически двумерном коллоиде, что упрощает теоретическую интерпретацию ЭВ. Гранулы Ag хорошо скреплены с подложкой и дихроизм сохраняется в пленках Ag после удаления AgJ. Наконец, пленки серебра легко изучаются методами просвечивающей электронной микроскопии, что снижает трудности, связанные с электронной микроскопией кристаллов галогенидов серебра.

Было обнаружено, что фотоиндуцированный дихроизм в пленках Ag—AgCl возникает в результате образования цепочек из сферических гранул Ag, преимущественно вытянутых вдоль направления электрического вектора облучающего света. Дихроизм в Ag—AgCl противоположен по знаку дихроизму, наблюдаемому в других сходных объектах (в кристаллах AgBr—Ag, AgCl—Ag [5], NaCl—Na [6], фотоэмulsionиях на основе AgBr, AgCl). В связи с этим представляло интерес изучение ЭВ в тонких пленках Ag—AgCl, содержащих гранулы Ag в виде двумерного коллоида. Об исследовании ЭВ в пленках Ag—AgCl уже сообщалось [7], однако метод приготовления (одновременное испарение Ag и AgCl) не обеспечивал двумерности коллоида.

### Методы приготовления и исследования дихроичных пленок Ag—AgCl

Методика приготовления образцов проста. Вначале вакуумным осаждением на нагретую до 300° С стеклянную подложку наносится тонкая пленка Ag. Толщина пленки задавалась навеской серебра и подбиралась так, чтобы пленка состояла из гранул Ag размером 100–200 Å. Затем подложка охлаждалась до комнатной температуры и осаждалась тонкая (~100 Å) пленка AgCl. Толщина пленки AgCl измерялась на контрольном образце методом Толанского. Для получения пленки Ag—AgCl применялась также обработка пленок Ag в парах Cl<sub>2</sub>. Оптические свойства и ЭВ в пленках Ag—AgCl, приготовленных двумя методами, оказались сходными, что позволило затем проводить исследования пленок, полученных более удобным первым способом.

Пленки Ag—AgCl подвергались затем облучению линейно поляризованным излучением Не—Не лазера ( $\lambda=6328 \text{ \AA}$ , мощность ~40 мВт, диаметр пучка 4 мм) при различных временах экспозиции. В пленках возникал дихроизм, легко наблюдаемый по изменению окраски в поляризованном свете на облученном участке. После выполнения оптических измерений пленки Ag—AgCl обрабатывались в фиксаже. В результате фиксирования на подложке остается гранулярная пленка Ag, сохраняющая результат фотоструктурных превращений при ЭВ. Дихроичные пленки Ag подвергались оптическим и электрономикроскопическим исследованиям.

Спектры пропускания пленок Ag—AgCl и Ag изучались на спектрофотометре СФ-4 в диапазоне 360–1000 нм. Спектры дихроичных пленок измерялись в поляризованном свете при поляризациях  $E \parallel E_0$  и  $E \perp E_0$ , где  $E$  и  $E_0$  — векторы поляризации измерительного и лазерного пучка соответственно. Электрономикроскопические снимки пленок Ag были получены под микроскопом ЭМ-7.

### Результаты оптических и электрономикроскопических исследований

Спектр поглощения необлученной пленки Ag—AgCl (рис. 1, а, I) представляет собой колоколообразную полосу с максимумом при 560 нм. Положение максимума хорошо согласуется с расчетной величиной 570 нм, полученной для мельчайших сферических гранул Ag в AgCl (показатель преломления  $n=2.08$ ) с учетом взаимодействия между гранулами [см. формулу (1)]. При облучении пленок Ag—AgCl поляризованным светом полоса поглощения расщепляется на две компоненты и ослабляется. Полоса, соответствующая поляризации  $E \parallel E_0$ , сдвинута относительно полосы  $E \perp E_0$  в сторону больших частот, обе полосы занимают коротковолновое положение относительно исходной. С увеличением времени экспозиции на начальных стадиях наблюдается быстрый сдвиг полос (рис. 2), причем полоса  $E \parallel E_0$  сдвигается быстрее полосы  $E \perp E_0$ . Величина сдвига и расщепления насыщается при времени экспозиции ~20 мин,

максимальное расщепление  $\Delta\omega \approx 5 \cdot 10^{14} \text{ с}^{-1}$ . После удаления AgCl в фикаже дихроизм в пленке Ag сохраняется (рис. 1, б). Полосы смещаются в коротковолновую часть спектра.

Оптические изменения в образцах, произошедшие в результате облучения, сопровождаются значительными структурными превращениями, что видно на микрофотографиях пленок Ag (рис. 3, а, б) до и после облучения. В исходной пленке Ag гранулы равномерно распределены по подложке. Средний диаметр гранул  $\sim 200 \text{ \AA}$ , среднее расстояние между ними  $\sim 270 \text{ \AA}$ , среднее число гранул  $\sim 1400$  на  $1 \text{ мкм}^2$ . Разброс гранул по размерам и взаимному расположению невелик. Крупные гранулы встречаются редко.

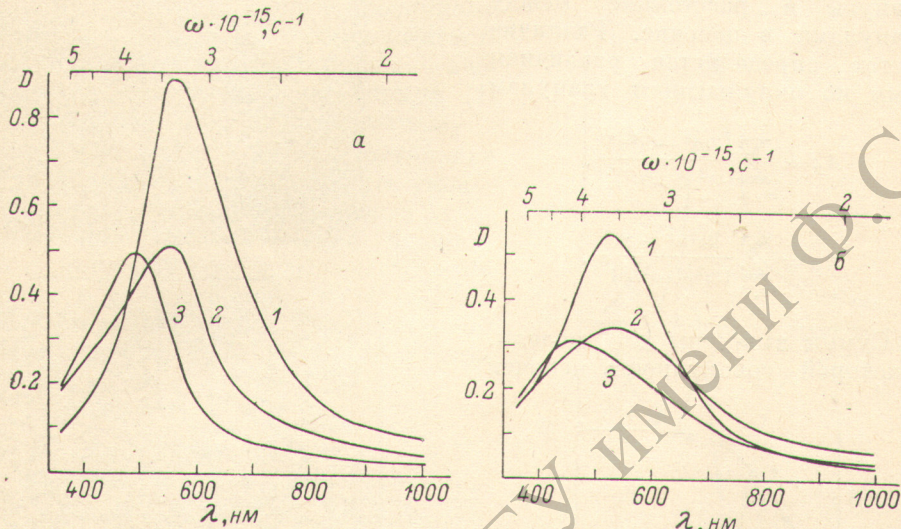


Рис. 1. Спектры поглощения пленки Ag—AgCl (а) и Ag (б), полученной из Ag—AgCl после фиксирования.

1 — до облучения; 2, 3 — после облучения линейно поляризованным светом; компоненты  $E \perp E_0$  и  $E \parallel E_0$  соответственно.

После облучения образуется пленка с заметным разбросом гранул по величине и взаимному расположению. На снимке видны цепочки, состоящие из тесно расположенных гранул и вытянутые главным образом в направлении, перпендикулярном  $E_0$  (рис. 1, б). К цепочкам из крупных частиц примыкают цепочки из мелких. Между цепочками из крупных гранул наблюдаются цепочки из мельчайших гранул, диаметр которых ( $50 \div 100 \text{ \AA}$ ) меньше среднего диаметра гранул в исходной пленке. Расстояние между цепочками из крупных гранул  $\sim 500 \div 600 \text{ \AA}$ . Хотя большинство цепочек вытянуто перпендикулярно  $E_0$ , на снимке в небольшом числе встречаются цепочки, составляющие малые углы с  $E_0$ . Некоторые цепочки разветвляются или испытывают излом. Отметим также значительное сокращение площади, занятой гранулярным серебром.

#### Обсуждение результатов

Как показано в [3, 4], фотоиндуцированный дихроизм в пленках Ag—AgHal связан с образованием цепочек, состоящих из близко расположенных сферических гранул диаметром, значительно меньшим  $\lambda$ . Учет дипольного взаимодействия между гранулами цепочки приводит к расщеплению собственной частоты электронов в грануле на две компоненты  $\omega_x$  и  $\omega_y$

$$\omega_{x,y} = \left[ \omega_0^2 - \frac{\omega_p^2}{3\varepsilon_0} \left( \frac{a_0}{a} \right)^3 A_{x,y} \right]^{1/2}, \quad (1)$$

где  $\omega_0$  — собственная частота электронов в изолированной грануле, равная

$$\omega_0 = \frac{\omega_p}{(\epsilon_m + 2\epsilon_0)^{1/2}}, \quad (2)$$

$\omega_p = (4\pi Ne^2/m)^{1/2}$  — плазменная частота, равная  $1.3 \cdot 10^{16} \text{ с}^{-1}$  для Ag,  $\epsilon_0$  — высокочастотная диэлектрическая постоянная диэлектрической среды, окружающей гранулы (для AgCl  $\epsilon_0 = n^2 = 4.3$ ),  $\epsilon_m$  — диэлектрическая постоянная, определяемая междузонными переходами в металле (4.1 для Ag),  $a_0$  и  $a$  — радиус гранулы и расстояние между гранулами в цепочке. Различие частот определяется различием сумм по окружающим гранулам

$$A_x = \sum_{m,n} \frac{2m^2 - \alpha^2 n^2}{(m^2 + \alpha^2 n^2)^{5/2}},$$

$$A_y = \sum_{m,n} \frac{2\alpha^2 n^2 - m^2}{(m^2 + \alpha^2 n^2)^{5/2}}.$$

Суммы выведены для модели, в которой совокупность цепочек

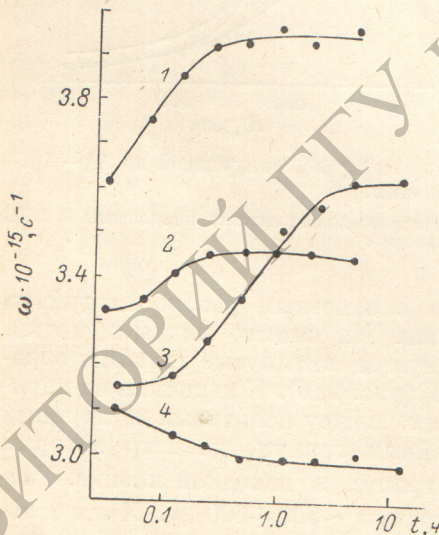


Рис. 2. Зависимости частот  $\omega$ , соответствующих максимумам полос поглощения в дихроичных пленках Ag—AgCl и Ag—AgJ, от логарифма времени экспозиции  $t$ .

1, 2 — пленка Ag—AgCl, компоненты  $E \parallel E_0$  и  $E \perp E_0$  соответственно; 3, 4 — пленка Ag—AgJ, компоненты  $E \perp E_0$  и  $E \parallel E_0$  [4]; время экспозиции приведено в соответствии с экспозицией для пленок Ag—AgCl.

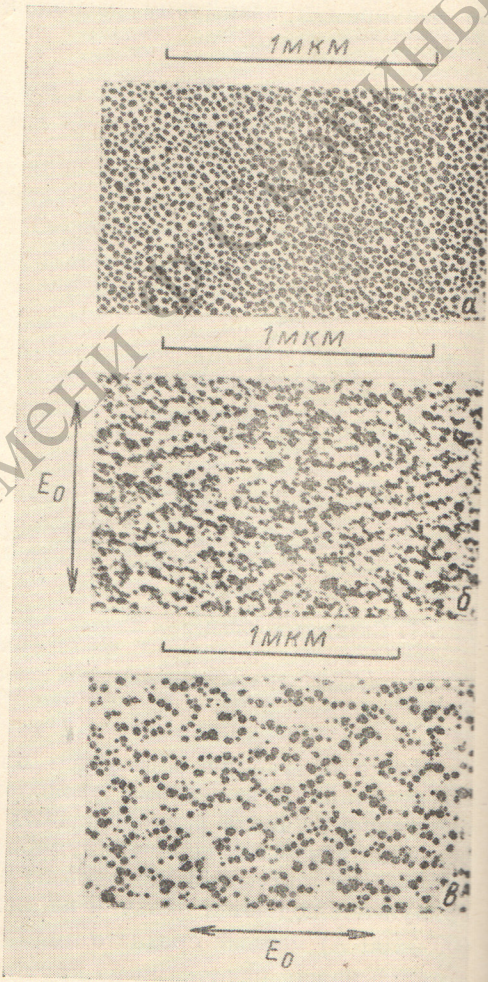


Рис. 3. Микрофотографии пленок Ag, полученных после фиксирования пленок Ag—AgHal.

а — пленка Ag после фиксирования необлученной пленки Ag—AgCl (соответствует спектру поглощения I на рис. 1, б); б — анизотропная пленка Ag после фиксирования облученной пленки Ag—AgCl (спектры 2, 3 на рис. 1, б). Цепочки из гранул Ag ориентированы перпендикулярно  $E_0$ ; в — анизотропная пленка Ag после фиксирования облученной пленки Ag—AgJ [3]. Цепочки из гранул Ag ориентированы вдоль  $E_0$ .

представлена двумерной прямоугольной решеткой с параметрами  $a$  и  $b$  ( $b$  — расстояние между цепочками), целочисленные индексы  $m$  и  $n$  определяют положение узла в решетке. Анизотропию прямоугольной решетки определяет параметр  $\alpha = b/a$ . При  $\alpha = 1$  решетка изотропна и величина  $A = A_x =$

$= A_y$  определяет сдвиг частоты собственных колебаний электронов за счет взаимодействия гранул. При  $\alpha > 1$  ( $b > a$ )  $A_x > A > A_y$ , т. е. возникает различие в собственных частотах для поляризаций  $E \parallel X$  и  $E \perp X$  (ось  $X$  направлена вдоль цепочки); поляризации  $E \parallel X$  соответствует низкочастотная,  $E \perp X$  — высокочастотная полоса по отношению к частоте  $\omega_1$  в изотропной решетке, т.е.  $\omega_x < \omega_1 < \omega_y$ . С ростом  $\alpha$  разность частот  $\omega_y - \omega_x$  растет и достигает насыщения [4], что соответствует случаю изолированной цепочки.

Результаты оптических измерений в  $\text{Ag}-\text{AgCl}$  хорошо соответствуют развитой теории. С ростом времени экспозиции наблюдается расщепление полос, причем низкочастотная компонента ( $E \perp E_0$ ) соответствует электрическому вектору, ориентированному вдоль цепочки ( $E \parallel X$ ), высокочастотная — ориентации  $E \perp X$ . Однако наблюдается отступление от формул (1) и (2), поскольку в эксперименте  $\omega_y > \omega_x > \omega_1$  (рис. 2). Это отступление объясняется, если предположить уменьшение  $\epsilon_0$  среды, окружающей гранулы по мере облучения пленки, что приводит к высокочастотному сдвигу  $\omega_0$  и  $\omega_1$ , что видно из (1) и (2), и объясняет сдвиг полосы в необлученной пленке после удаления  $\text{AgCl}$ . Умень-

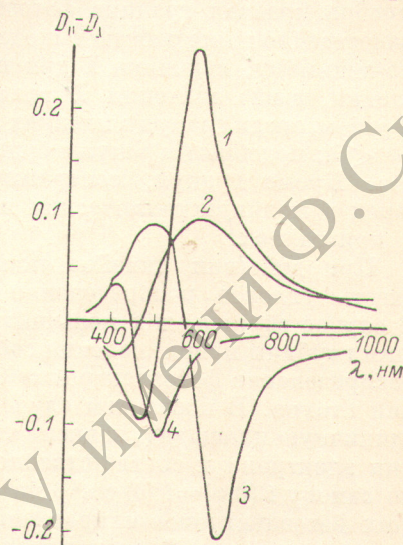


Рис. 4. Спектральные зависимости  $D_{\parallel} - D_{\perp}$ .

1, 2 — дихроизм в пленке  $\text{Ag}-\text{AgCl}$  и в соответствующей ей пленке  $\text{Ag}$ , полученной после фиксирования; 3, 4 — дихроизм в пленке  $\text{Ag}-\text{AgJ}$  и в соответствующей ей пленке  $\text{Ag}$ , полученной после фиксирования [3].

шение  $\epsilon_0$  может быть связано с появлением в результате облучения большого количества гранул  $\text{Ag}$  на поверхности пленки  $\text{AgCl}$ , границах зерен и пересечении границ с поверхностью.

Интересно сравнить результаты исследования ЭВ в пленках  $\text{Ag}-\text{AgCl}$  и  $\text{Ag}-\text{AgJ}$  [3]. На рис. 4 показаны спектральные зависимости разности  $D_{\parallel} - D_{\perp}$ , характеризующие дихроизм образцов ( $D_{\parallel, \perp}$  — оптические плотности, соответствующие поляризациям  $E \parallel E_0$  и  $E \perp E_0$ ). Видно, что дихроизм в пленках противоположного знака: если в  $\text{Ag}-\text{AgCl}$  длинноволновый максимум положителен, то в  $\text{Ag}-\text{AgJ}$  отрицателен. Удаление диэлектрика в обоих случаях не приводит к изменению знака дихроизма, а только к высокочастотному сдвигу кривых и ослаблению дихроизма. Знак дихроизма непосредственно связан с расположением цепочек из гранул  $\text{Ag}$  в пленках  $\text{Ag}-\text{AgCl}$  и  $\text{Ag}-\text{AgJ}$ , что видно из сравнения микрофотографий (рис. 3, б и в). В пленках  $\text{Ag}-\text{AgJ}$  цепочки преимущественно вытянуты вдоль  $E_0$ , что и определяет знак дихроизма в этом объекте. Таким образом, по взаимному расположению вектора поляризации облучающего света и образующихся в результате облучения цепочек следует различать поперечный и продольный эффект Вейгера.

Так как возникновение поперечного и продольного ЭВ сводится к взаимному расположению цепочек и вектора  $E_0$ , следует обсудить механизм фотоструктурных превращений, возникающих при облучении поляризованным светом. За основу при обсуждении возьмем гипотезу Мотта и Герни, успешно применяемую для объяснения многих фотографических эффектов [8, 9]. По этой гипотезе следует различать две стадии, протекающие при действии нефотоактивного света процессов: электронную и ионную. Быстропротекающая электронная стадия заключается в фотоэффекте на гранулах серебра с переходом электронов в зону проводимости

$\text{AgHal}$  и последующем захвате фотоэлектронов центрами прилипания с большой энергией активации. Для протекания фотоэффекта необходимо облучить вещество в области полосы поглощения гранулярного серебра и выполнить при этом условие

$$\hbar\omega > \chi, \quad (3)$$

где  $\chi$  — работа выхода фотоэлектронов из гранулы. Так как гранулы в пленке различаются по размерам и по их положению, следует ожидать разброс величины  $\chi$ . Различие в работе выхода для гранул разных диаметров определяется зависимостью электростатических сил притяжения и сил изображения от радиуса гранулы [10]. Величина  $\chi$  существенно зависит от диэлектрического окружения. Для гранул Ag в галогенидах серебра красная граница фотоэффекта лежит при  $1 \div 1.5$  эВ [9, 11], что существенно ниже работы выхода для чистой поверхности серебра (4.5 эВ). По-видимому, величина  $\chi$  для гранул, расположенных на поверхности пленки, выше значения  $\chi$  гранул, погруженных в диэлектрик. Таким образом, среди гранул в пленках  $\text{Ag} - \text{AgHal}$  возможны такие, для которых  $\hbar\omega < \chi$ ; подобные гранулы будут являться центрами стока фотоэлектронов. Кроме гранул, центрами прилипания могут служить границы зерен в поликристаллических пленках, дислокации и точечные дефекты в кристаллах.

При действии линейно поляризованного излучения следует также учесть угловое распределение фотоэлектронов, покидающих гранулу. В случае сферических мельчайших частиц диаметром, существенно меньшим глубины проникновения света в металл, следует ожидать, что угловое распределение фотоэлектронов близко к распределению при photoионизации атомов. В последнем случае поток фотоэлектронов, пронизывающих единичную площадку, зависит от углов  $\vartheta$  и  $\varphi$  между направлением движения электрона и соответственно вектором  $E_0$  и волновым вектором света по закону  $i(\vartheta, \varphi) = i(0) \cos^2 \vartheta \sin^2 \varphi$  [12]. Если так, то большинство вылетающих фотоэлектронов направлено вдоль  $E_0$  в плоскости пленки в соответствии с геометрией эксперимента.

По различным оценкам, следующим из экспериментальных работ по сдвигу фотоэлектронов в импульсных электрических полях [13], длина свободного пробега фотоэлектрона в  $\text{AgCl}$  около  $30 \div 40$  Å при комнатной температуре. Эта величина близка к среднему расстоянию между поверхностями соседних гранул в необлученной пленке ( $50 \div 70$  Å, рис. 3, a). Другими словами, фотоэлектроны могут захватываться соседними гранулами почти без рассеяния, что приводит к перераспределению заряда между соседними частицами, расположенными вдоль  $E_0$ . Если перераспределение заряда произошло между идентичными гранулами, для которых справедливо условие (3), то возбужденное состояние быстро релаксирует за счет обратного туннелирования. Однако при захвате фотоэлектрона гранулой-ловушкой или другим центром прилипания возникает устойчивый во времени электростатический диполь с осью вдоль  $E_0$ .

Нейтрализация диполя происходит за счет диссоциации положительно заряженной гранулы с выделением иона  $\text{Ag}^+$  и последующем его перемещением по междоузлиям решетки  $\text{AgHal}$  в сторону центра прилипания. Перемещение ионов  $\text{Ag}^+$  определяет ионную, более медленную, стадию механизма Мотта и Герни. При длительном облучении процессы пере зарядки и нейтрализации повторяются многократно, что способствует росту и накоплению частиц серебра в районе центра прилипания и их рассасыванию в более регулярных местах. В итоге возникает заметное перераспределение частиц по размерам и по поверхности подложки. Так как оси диполей расположены главным образом в направлении  $E_0$ , движение ионов  $\text{Ag}^+$  будет направленным, что приводит к анизотропии в распределении частиц Ag по поверхности пленки и в итоге к оптической анизотропии.

Обсудим возможные механизмы образования поперечного и продольного ЭВ. Наиболее вероятными центрами захвата фотоэлектронов в тонких

пленках являются границы зерен AgHal, стыки нескольких плоских границ и места пересечения границ с поверхностью. Это утверждение подкрепляется существованием на микрофотографиях облученных пленок изломанных цепочек и «вилок», состоящих из 3 или более прямолинейных цепочек. Такие образования видны в пленках Ag—AgJ (рис. 3, б). Измерения показывают, что углы излома цепочек во многих случаях составляют 120 и 60°, что соответствует углам между боковыми гранями плоских монокристаллов AgJ. Цепочки как бы проявляют границы зерен AgHal. Эффект декорирования частицами серебра границ зерен и дислокаций в монокристаллах известен давно. Исследования [14] указывают на декорирование дислокаций в монокристаллах AgCl при их засвечивании даже при комнатной температуре. Декорирование ускоряется при возбуждении в кристаллах фотоэлектронов [15].

Предположение о том, что границы зерен являются основными центрами прилипания фотоэлектронов и последующего роста гранул Ag, хорошо

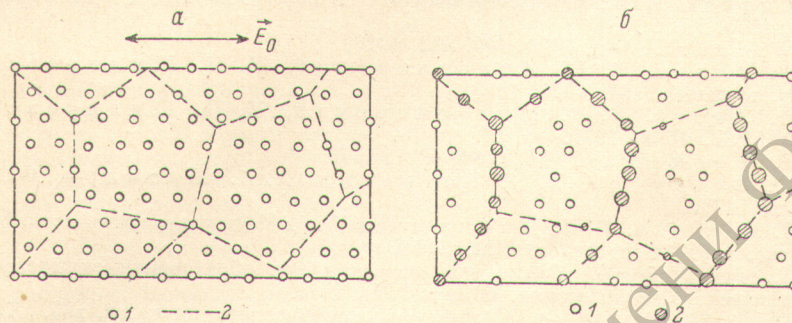


Рис. 5. Модель пленки Ag—AgCl для объяснения поперечного ЭВ.

*a* — пленка до облучения; 1 — гранулы Ag, 2 — границы зерен AgCl. *б* — пленка после облучения линейно поляризованным светом с направлением колебаний  $E_0$ ; 1 — гранулы Ag, оставшиеся на своих местах, 2 — гранулы, образовавшиеся при облучении на границах зерен AgCl за счет переноса ионов  $Ag^+$  от соседних с границами гранул в направлении  $E_0$ .

объясняет поперечный ЭВ. Направленный рост цепочек на границах поясняет рис. 5, на котором указаны границы зерен AgHal и равномерно распределенные по пленке гранулы. Допустим, что под действием света рассасываются соседние с границей гранулы в направлении  $E_0$ . Легко видеть, что выделение крупных гранул будет происходить на границах, составляющих большие углы с  $E_0$ . При больших размерах зерен по сравнению с расстоянием между гранулами, количество выделившегося серебра на единице длины прямолинейной границы пропорционально  $\sin\theta$ , где  $\theta$  — угол между направлением границы и  $E_0$ . Наряду с крупными гранулами, выделившимися на границах, образуются цепочки из оставшихся в глубине зерен мелких гранул, расположенные параллельно заполненным границам. Такая модель неплохо описывает взаимное расположение гранул на микрофотографии (рис. 3, б), соответствующей поперечному ЭВ в Ag—AgCl.

Природа продольного ЭВ, наблюдавшегося в Ag—AgJ, менее ясна. По-видимому, границы зерен в AgJ являются «плохими» центрами стока фотоэлектронов. В отличие от пленок Ag—AgCl полоса  $E \parallel E_0$  в пленках Ag—AgJ по мере развития дихроизма смещается в сторону низких частот (рис. 2), что свидетельствует против выделения гранул серебра в местах пересечения границ зерен с поверхностью. По всей вероятности, центрами захвата фотоэлектронов с большой энергией активации являются места пересечения нескольких границ и случайные большие гранулы. В связи с этим число центров прилипания в пленках Ag—AgJ значительно меньше, чем в Ag—AgCl, что приводит к заметному снижению скорости развития ЭВ в Ag—AgJ. Из рис. 2 видно, что насыщение ЭВ (по величине расщепления полос) в Ag—AgCl достигается за время  $\sim 20$  мин, в то время как для Ag—AgJ соответствующее время  $\sim 4$  ч. О небольшом числе центров захвата свидетельствует также небольшое число крупных гранул размером

более  $500 \text{ \AA}$ , случайно распределенных по подложке (рис. 3, в). Концентрация таких центров  $\sim 30 \text{ мкм}^{-2}$ . Редкие центры прилипания естественно будут поглощать большое число мелких гранул Ag, расположенных по обе стороны от ловушки в направлении  $E_0$ . Таким образом, создаются протяженные области по пленке, свободные от частиц Ag и вытянутые вдоль  $E_0$ . Эти области окаймляются цепочками из оставшихся мелких гранул Ag. Подобная модель груба и не объясняет некоторых деталей на снимках. Например, с этой точки зрения не ясно существование изломанных цепочек из мелких гранул Ag, явно проявляющих границы зерен AgJ и преимущественно вытянутых в направлении  $E_0$ .

В заключение считаем приятным долгом выразить глубокую благодарность И. Н. Шкляревскому за обсуждение результатов эксперимента.

### Литература

- [1] J. Egger. В сб.: Междунар. конгресс по фотогр. науке, 1, Внешторгиздат, М., 1970.
- [2] F. Weigert. Ann. Phys., 63, 682, 1920.
- [3] Л. А. Агеев, В. К. Милославский, И. Н. Шкляревский. Опт. и спектр., 40, 1024, 1976.
- [4] Л. А. Агеев, В. К. Милославский, И. Н. Шкляревский. УФЖ, 21, 1681, 1977.
- [5] В. П. Черкашин. ФТТ, 14, 1261, 1972.
- [6] В. М. Безручко, В. И. Бодрягин, А. А. Шаталов. ФТТ, 12, 1092, 1970.
- [7] М. Е. Фонкич, В. П. Черкашин. В сб.: Междунар. конгресс по фотогр. науке, 110. Внешторгиздат, М., 1970.
- [8] П. В. Мейклар. Физические процессы при образовании скрытого фотографического изображения. «Наука», М., 1972.
- [9] К. Миз, Т. Джеймс. Теория фотографического процесса, 165. «Химия», Л., 1973.
- [10] Г. А. Катрич, В. С. Самойлов. В сб.: Диспергированные металлические пленки, 319. Инст. физ. АН УССР, Киев, 1972.
- [11] Е. К. Пузейко, П. В. Мейклар. ЖЭТФ, 21, 341, 1951.
- [12] Д. И. Блохицев. Основы квантовой механики, 407. «Наука», М., 1976.
- [13] J. R. Haunes, W. Shockley. Phys. Rev., 82, 935, 1951.
- [14] J. M. Hedges, J. W. Mitchell. Phil. Mag., 44, 223, 1953.
- [15] C. B. Childs, L. Slifkin. Phys. Rev. Lett., 3, 502, 1960.

Поступило в Редакцию 23 января 1978 г.